

## 矩形管水路における河床波の発生と発達

京都大学工学部 正員 中川 博次  
 京都大学工学部 正員 辻本 英郎  
 建設省 正員 ○富田 邦裕

河床波の形成についてかつては水面波の影響が注目されたこともあったが、管水路においても河床波(anti-dunesを除く)の形成されることが実験によても示され、最近では河床波の形成要因として水面波が考慮されることはほとんど無いようである(anti-dunesを除く)。しかしながら著者が平坦河床から発生・発達する河床波のスペクトルの時間的変化を調べた結果、初期においてAiry波(=本数ある波数でスペクトル)はピークが現れ、河床波のスペクトルの発達過程においてはこのピークの低波数側への移行が特徴づけられることが指摘された<sup>1)</sup>。すなちAiry波の出現と同時に水面波の果たす役割の重要性が知られた。そこで本研究では管水路移動床実験を行ってこれを開水路移動床実験と比較することによって水面波の果たす役割を検討することとした。

1. 実験 長さ9m、幅33cmの可変勾配管水路<sup>1)</sup>において、図-1に示すように移動床初期平坦河床面から $D_0 = 7.5\text{ cm}$ 上方にアクリル製上壁を設け、移動床管水路(矩形断面)実験を行った。実験砂は中央粒径( $d$ ) $0.074\text{ mm}$ に内一致( $\gamma_p = 2.61$ )を用いた。

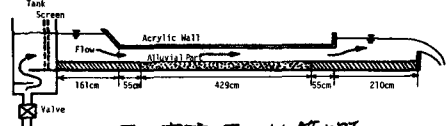


図-1 実験に用いた管水路

水路中央線は沿い、上壁アクリル板は $=20\text{ cm}$ 間隔で圧力タップを設けマニホールドにより圧力勾配を測定し、次の方法で移動床面せん断応力を求めた。 $\tau = \rho g R_b I$  ……①,  $R_b = D_0 - \frac{B+2D_0}{B} \left( \frac{n_w U}{\sqrt{I}} \right)^{3/2}$  [m·sec単位] ……② ただし、 $U$ : 平均流速、 $B$ : 水路幅、 $n_w$ : アクリル樹脂面のアングル粗度係数( $n_w = 0.0098$ )である。なお上述のアクリル製上壁を取りはずすと開水路移動床実験が可能で同じ砂材料による実験を行った。開水路では $R_b = h^{1/4} - \frac{1}{2} \left( \frac{n_w U}{\sqrt{I}} \right)^{3/2} = h$  ……③ ( $h$ : 水深)である。実験水路には下流部固定床部は流砂量測定用の堆砂槽が設けられているが、管水路の場合この形式での測定は不可能で流砂量測定を行っていない。砂面形状形状は自走式超音波測定装置で測定されたが、管水路の実験の場合は所定の時刻ごとに通水を一旦停止してアクリル板を除去して(但し充分な水深のまま静水状態)測定記録を得た。なお、開水路移動床実験では抵抗式砂面測定器を応用して水位計と超音波測定器と同時に自走させ、水面形状記録も得た。

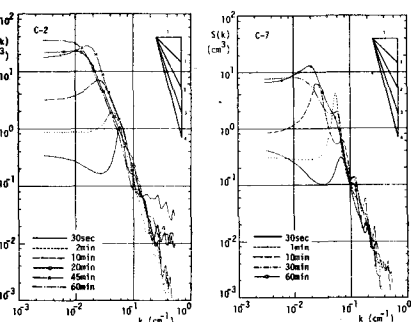
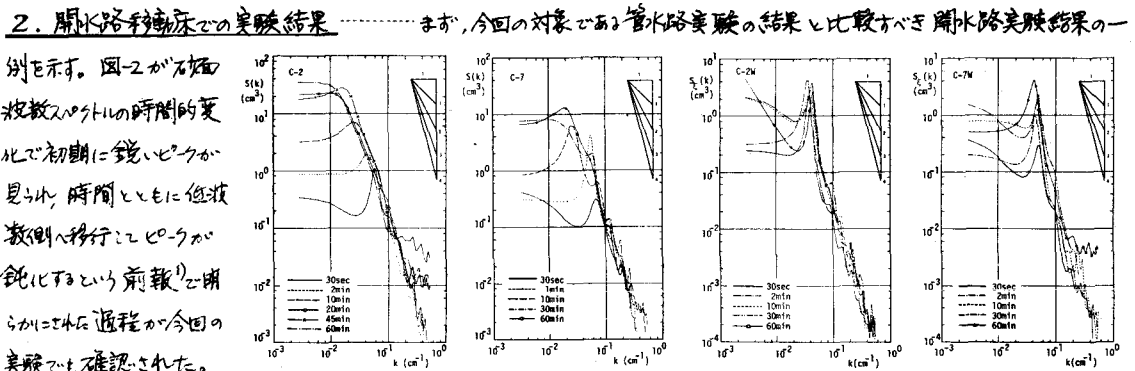


図-2 開水路での石面波数スペクトルの発達

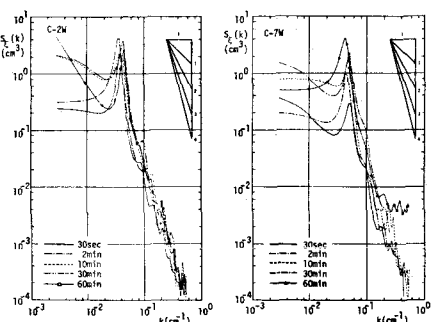


図-3 河床波の発達(半うねり波数スペクトル)

\* Hiroji NAKAGAWA, Tetsuro TSUJIMOTO and Kunihiro TOMITA

定された水面の波数スペクトルで、Airy波相当波数の波が底波数へ移行することも純化することもほとんど無い。すなわち、前報(1)によれば、水面波の効果は初期に限らず不安定構造を通じて水面に傳わる。ここにこれが初期にみられる規則正しい河床波に相当し、これが底波数側へ分散していくと河床波が発達する。

### 3. 管水路実験結果 管水路の場合に得られた水面波数

スペクトルの時間的変化の例は図-1に示す通り<sup>2)</sup>、開水路に比べると明らかに卓越するスペクトルピークの存在は認められず、Airy波との水面の影響が当然存在しない。逆にここに示した結果より、開水路の場合には独自の機構(水面の段階)の存在するに違い無いものとされた。

### 4. 管水路内砂動床砂面の不安定性 着者らは前報(2)河床波スベクトルの発達過程が次の3つの構造から成っているものと推定した<sup>1)</sup>

(a) ランダム砂粒の離脱・落下を経過する河床高分散の生成過程、  
(b) 不安定構造、(c) 個々の波性質による追いつき合体によって波数移行過程。

このうち(a)、(b)は管路と開水路で本質的に異なるものである。(c)のみ検討する。不安定解析の方法は着者らが開水路に対して行った<sup>1), 2)</sup>それと準相似、砂粒運動(stochastic model)、流れモデルに種々の体数を別途考慮したオーテンシャル流理論を用いるとオーテンシャル流理論の部分だけが開水路と異なる。

このとき、波数  $k$  ( $= 2\pi/L$ ) の波の増幅率の無次元表示(波数スペクトルの波数スペクトル成分の増幅率とも解釈される)  $\Gamma^*(KD_0)$  は、次式のようになる。

図-5 複雑化された砂面波数スペクトル(管路)

$$\Gamma^*(KD_0) = \left[ -(\kappa\lambda)^2 / [1 + (\kappa\lambda)^2] \right] \cdot \left\{ 2F_* \kappa \lambda + \alpha (R_* - 1) \right\} \quad \text{④} \quad (\text{これは開水路とも互通、但し開水路の場合 } D_0 \rightarrow F_0) \quad \text{ここで } F_* = R_* / \sqrt{1 + R_*^2}$$

$$F_* = \coth D_0, \quad R_* = 0 \quad \text{⑤} \quad (\text{開水路の場合 } F_* = \frac{1 - \tanh D_0}{\tanh D_0 - 1})$$

$$R_* = F_* \coth \alpha \operatorname{sech} \alpha / (F_* \coth \alpha - \tanh \alpha) \quad \text{とある。} \quad \text{この式の分子 \rightarrow 0 のとき Airy の関係をとる。} \quad \text{また } \alpha \text{ は}$$

水深の対応・収縮の効果を表すもの(開水路では  $\alpha = Y_0/Fr^2$  といつて管路では Froude 数が存在しない)あるが、ここでは複雑化した。開水路の場合と同様、河床波発達の初期には上述の3つのサブプロセスのうち(c)はまだ小さいと考えられ、スペクトルの複雑化によると(a)の効果が大きくなる(図-5)と見え、不安定構造に起因するスペクトルの波数別増幅率を調べたのが図-6である。これより  $\alpha = 6$  と定め(開水路複雑度の Froude 数の範囲を参考して  $\alpha = Fr^2 = 5 \sim 7$  程度となり同程度の値とおこる)

理論結果(図-7)と比較すると、ほぼ上述の議論が認められる。なお、従来の研究と同様、不安定解析を河床波形成の領域区分に従って適用すると図-8が得られた。

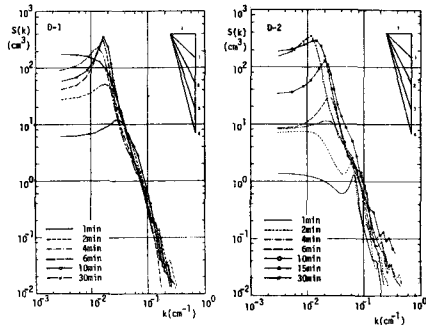


図-4 管水路での砂面波数スペクトルの発達

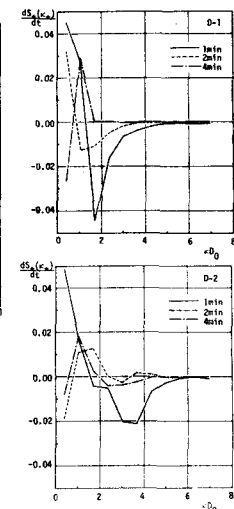
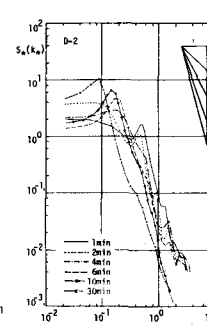


図-6 波数別スペクトル増幅率

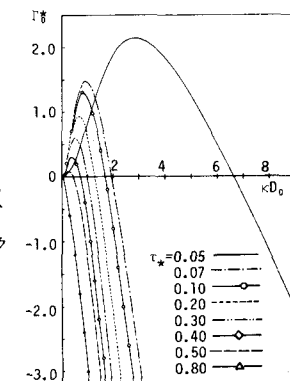


図-7 不安定解析による得られた理論的スペクトル増幅率

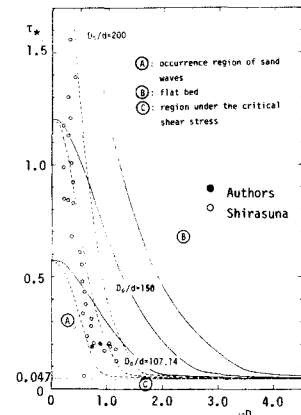


図-8 不安定解析による領域区分  
(管水路の場合)

参考文献: 1) 中川・辻本: 第2回国際講演会, 1982.

2) Nakagawa, Tsujimoto: Proc. ASCE, HY12, 1980.